

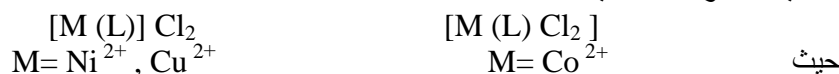
## Synthesis and preparation of open cyclic tetra dentate ligand type NNSS and their metal complexes with di valence cobalte nickel and copper

تحضير وتشخيص ليكائد حلقة مفتوحة رباعي السن من نوع NNSS ومعقداته  
الفلزية للكوبالت والنikel والنحاس الثنائي التكافؤ

م. م شذى عبد الامير جواد  
جامعة كربلاء / كلية التربية للعلوم الصرفة

### الخلاصة

تضمن البحث تحضير وتشخيص ليكائد حلقة مفتوحة من نوع (NNSS) ومعقداته مع بعض الايونات للعناصر الانتقالية الثنائية التكافؤ ذات الصيغة العامة :



حيث

حضر الليكائد بخطوة واحدة تضمنت مفاعلة مكافئين من حامض 3- مركتو بروبانويك مع مكافئ واحد من بروبلين ثانوي امين . وبعد اتمام تحضير هذا الليكائد حضرت المعقدات من خلال مفاعلة الليكائد الناتج مع مكافئ واحد من الايونات الفلزية (  $Co^{2+}, Ni^{2+}, Cu^{2+}$  ) شخص الليكائد والمعقدات المحضرة بواسطة مطيافية الاشعة تحت الحمراء والأشعة فوق البنفسجية – المرئية وطيف الرنين النووي المغناطيسي للبروتون للليكائد ومعقد النيكيل وطيف الرنين النووي المغناطيسي للكاربون للليكائد فقط . وتحليل الكمي الدقيق للعناصر . اضافة الى قياسات التوصيلية المولارية وقياسات درجات الانصهار والحساسية المغناطيسية . بينت الدراسات ان الاشكال الفراغية المقترنة للمعقدات المحضرة هي ثمانية السطوح المشوهة ( distorted octahedral ) للكوبالت و للنحاس و رباعي السطوح للنيكل ( tetrahedral ) . كما تم ايجاد نسبة الايون الى الليكائد (M:L) بطريقة النسب المولية فكانت (1:1) لكل المعقدات المحضرة .

### Abstract:

The open cyclic ligand type NNSS have been prepared through one step. Included the reaction between two equivalent of 3- mercapto propanoic acid and one equinvalent of propylene di amine . the  $Co^{2+}, Ni^{2+}, Cu^{2+}$  from there action of the ligand Complexes were prepared with metal ions (1:1) ratio , the prepared compounds were characterized by FT-IR , UV-Vis ,  $^1H$ NMR for the ligand and and nichel complexe ,  $^{13}C$ - NMR for the ligand , C.H.N spectoscopies, as well as the molar conductivity and magnetic susceptibility , Mole ratio was corried out of prepared complexes . These measurements shows cobalt and copper complexes have distorted octahedral shape , while nichel complex has tetrahedral shape .

**Key words :** 3- mercapto propanoic acid , propylene di amine, spectra study.

### المقدمة :

اكتسبت كيمياء المعقدات التناسقية وخاصة كيمياء العناصر الانتقالية أهمية كبيرة في العقود القليلة المنصرمة لما لها من اسهامات واسعة ومتعددة في معرفة كيفية تكون هذه المعقدات وتحديد كيفية التناصر فيها<sup>(1)</sup>. وقد بينت الكثير من الدراسات ان لها اهمية في العمليات الバイولوجية في كثير من الكائنات الحية ، اذ تكون على شكل معقدات باليوجية فيها مثل الهيموكلوبين في الدم والكلوروفيل في النباتات<sup>(2)</sup>، وكنماذج احيائية في العديد من الفيروسات الایضية<sup>(3-5)</sup> فهي تلعب دوراً كبيراً ومتزايداً ومهماً في مجالات اخرى كثيرة مثل الصناعة كعوامل مقاومة للتآكل و معاملات للتربية و كعوامل محفزة<sup>(6)</sup> و غيرها ، و في المجالات الطبية كمواد صيدلانية و كعاقير مضادة للكثير من الامراض و منها السرطان .<sup>(7)</sup>

ان تكون مثلاً هذه المعقدات تعتبر ظاهرة عامة لكثير من ايونات العناصر<sup>(8)</sup>، ولكنها لوحظت بصورة خاصة في ايونات العناصر الانتقالية . اذ يتكون هذا النوع من المعقدات من تفاعل (حامض- قاعدة) لويس اي من تفاعل الفلز او الايون الفلزي (حامض لويس) الذي يحتوي على اوربيتالات خالية ومتماطلة و ذات طاقة معتدلة مع الذرات اللافازية (قاعدة لويس) الحاوية على مزدوجات الكترونية غير متاصرة<sup>(9)</sup> .

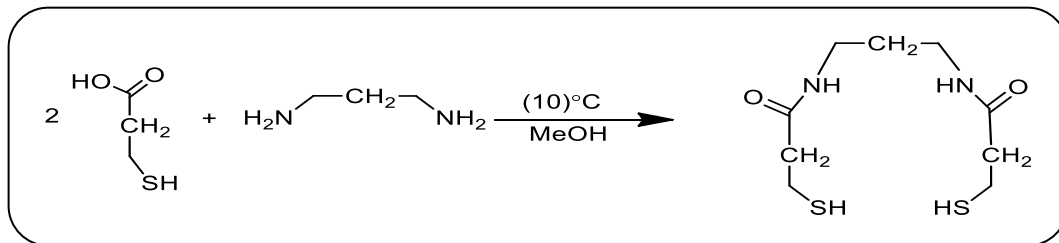
وأخيراً تتميز معظم هذه المعقدات باللون زاهية وخواص مغناطيسية<sup>(10)</sup> وثباتية عالية بسبب احتواها على اوربيتالات d او F غير المشبع في الحالة الذرية او احدى حالات التاكسد<sup>(11)</sup>.

### الجزء العملي :

جهزت معظم المواد المستخدمة من شركة Merck و BDH و بدون اي عمليات تنقية اضافية ، قيست درجات الانصهار باستخدام Electrothermal M.P App Dig. ، سجلت اطيف الاشعة فوق البنفسجية - المرئية باستخدام جهاز UV-Visible Spectro photometer – 1800 , Shimadzu , (Japan) ، سجلت اطيف الاشعة تحت الحمراء باستخدام جهاز FTIR-8400 S Shimadzu (Japan) [Broker – 400 Germany] ، وسجلت اطيف NMR باستخدام جهاز Shimadzu (Japan) [Broker – 400 Germany] . قيست التوصيلية الكهربائية باستخدام جهاز Digital Conductivity meter – WT – 720 – inolab (Germany) .

### تحضير الليكанд (L) :

أذيب ( $2.2 \times 10^{-4}$  mol) (2mL) من مادة حامض 3- مركبتو بروبانويك (3- mercapto acetic acid) في (15mL) من الميثانول ثم اضيف اليه مع التحريك المستمر (1.2  $\times 10^{-4}$  mol) (1 mL) من مادة بروبيلين ثانوي امين propylene di amine) مع التحريك بالمحرك المغناطيسي لمدة ساعة في حمام ثلجي ذو درجة حرارة 10°C . ثم سخن (15mL) من الميثانول الى درجة حرارة 30°C واضيف الى محلول التفاعل مع التحريك . إذ لوحظ تكون راسب ابيض مصفر بعد غسله مرتان ب (10 mL) من الايثانول البارد و (10 mL) من الايثانول ذو وزن (1.980 g) ونسبة منتوج (65.86 %) ودرجة غليان 122-125 °C .



مخطط (1) : تحضير الليكанд

### تحضير المعقدات :

#### تحضير المعقد [Co (L) Cl<sub>2</sub>]

حضر هذا المعقد باستخدام الليكанд (L) وبوجود كلوريد الكوبالت المائي (CoCl<sub>2</sub>.6H<sub>2</sub>O) وكما يلى : اذيب (0.27g , 0.27g  $\times 10^{-3}$  mol) من الليكанд المحضر في (15mL) من الايثانول ثم اضيف الى محلول مع التحريك المستمر (0.29 g ,  $\times 10^{-3}$  mol) من KOH المذاب في الكحول الايثانولي ، ترك المزيج للتحريك لمدة عشر دقائق ثم اضيف اليه بالتدريج مع التحريك المستمر (0.18 g,  $0.18 \times 10^{-3}$  mol) من كلوريد الكوبالت المائي (CoCl<sub>2</sub>.6H<sub>2</sub>O) المذاب في (10mL) من الايثانول . ثم ترك المزيج للتصعيد العكسي لمدة ساعة حيث لوحظ تغير اللون وبعد الترشيح والغسل مررتان بالايثانول والايثانول وابسا (اسود) وبوزن (0.21 g) ونسبة منتوج (52.1 %) ودرجة انصهار C ° (241-246) .

#### تحضير المعقد [Ni (L)]

حضر هذا المعقد باستخدام نفس الطريقة السابقة . ما عدا استخدام (0.19 g) من كلوريد النikel المائي (NiCl<sub>2</sub>.6H<sub>2</sub>O) حيث تكون راسب ذو لون (اخضر فاتح) وبوزن (0.239 g) ونسبة منتوج (55.5 %) ودرجة انصهار C ° (302 dec) .

#### تحضير المعقد [Cu (L)Cl<sub>2</sub>]

حضر هذا المعقد باستخدام نفس الطريقة السابقة. ما عدا استخدام (0.172 g) من كلوريد النحاس الثنائي المائي CuCl<sub>2</sub> (0.2H<sub>2</sub>O) حيث تكون راسب ذو لون (شذري) وبوزن (0.28 g) ونسبة منتوج (68.3 %) ودرجة انصهار C ° (291-293) .

والجدول (1) يبين معلومات عن الليكанд المحضر ومعقداته

Comp.	M.wt	Formula	Color	Melting point °C	Yield%
[L]	250.38	C <sub>9</sub> H <sub>18</sub> N <sub>2</sub> O <sub>2</sub> S <sub>2</sub>	ابيض مصفر	122-125	65.8
[Co (L)Cl <sub>2</sub> ]	378.20	C <sub>9</sub> H <sub>16</sub> N <sub>2</sub> O <sub>2</sub> S <sub>2</sub> (Co) Cl <sub>2</sub>	اسود	241-246	52.1
[Cu (L)Cl <sub>2</sub> ]	382.82	C <sub>9</sub> H <sub>16</sub> N <sub>2</sub> O <sub>2</sub> S <sub>2</sub> (Cu) Cl <sub>2</sub>	شذري	291 -293	68.3
[Ni (L)]Cl <sub>2</sub>	377.96	C <sub>9</sub> H <sub>16</sub> N <sub>2</sub> O <sub>2</sub> S <sub>2</sub> (Ni) Cl <sub>2</sub>	اخضر فاتح	302 dec.	55.5

**النتائج والمناقشة :**

اتصفت المعقدات الكيليتية المحضرة مع الليكанд بألوان مغایرة للون الليكанд كما واتصفت بأسقفاريتها تجاه الهواء . كما اتصفت بقابلية ذوبانها في البعض من المذيبات العضوية القطبية وغير القطبية والجدول (2) يبيّن نتائج اختبار الذوبانية لها :

جدول (2): نتائج اختبار الذوبانية لليكанд ومعقداته

Compound	DMF	DMSO	MeOH	H <sub>2</sub> O	Acetone	benzen	n-hexan	Aceto-nitryl	dichloro-methane
[L]	+	+	+	+	-	-	-	-	+
[Co (L)Cl <sub>4</sub> ]	+	+	÷	+	-	-	-	-	-
[Cu (L) Cl <sub>4</sub> ]	+	+	÷	÷	-	-	-	-	-
[Ni (L) ]Cl <sub>4</sub>	+	+	÷	÷	÷	-	-	+	-

+ ذائب ، - غير ذائب ، ÷ ذائب جزئيا

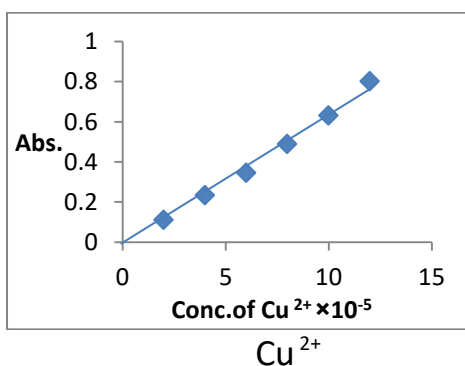
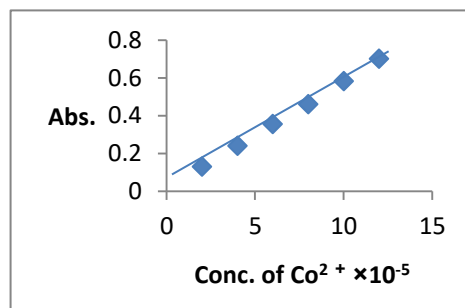
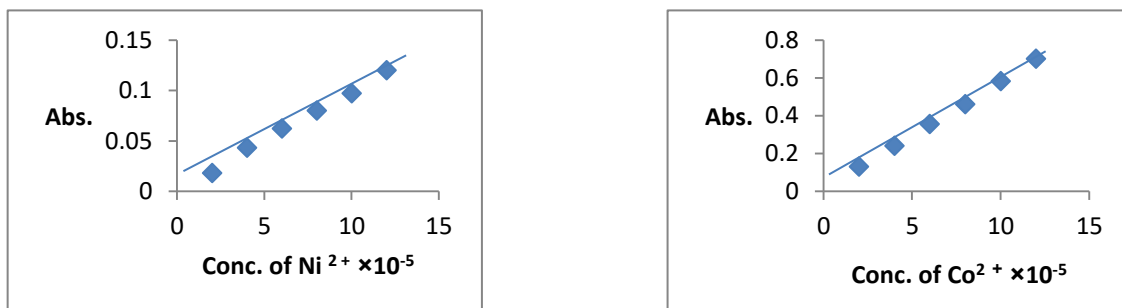
وافتقت قيم التحليل الكمي للعناصر العملية لليكанд ومعقداته القيم النظرية

جدول (3): قيم التحليل الكمي للعناصر العملية والنظرية لليكанд ومعقداته

Compound	%C		%H		%N		%S	
	Cal.	Exp.	Cal.	Exp.	Cal.	Exp.	Cal.	Exp.
[L]	43.17	42.47	7.25	7.86	11.19	11.65	25.61	25.66
[Co (L)Cl <sub>2</sub> ]	28.58	28.52	4.26	4.83	7.41	7.51	16.96	16.45
[Ni (L) ]Cl <sub>2</sub>	28.60	28.66	4.27	4.81	7.41	7.42	16.97	16.95
[Cu (L) Cl <sub>2</sub> ]	28.24	28.28	4.21	4.79	7.37	7.32	16.75	16.12

**(3-3) منحنيات المعايرة القياسية :**

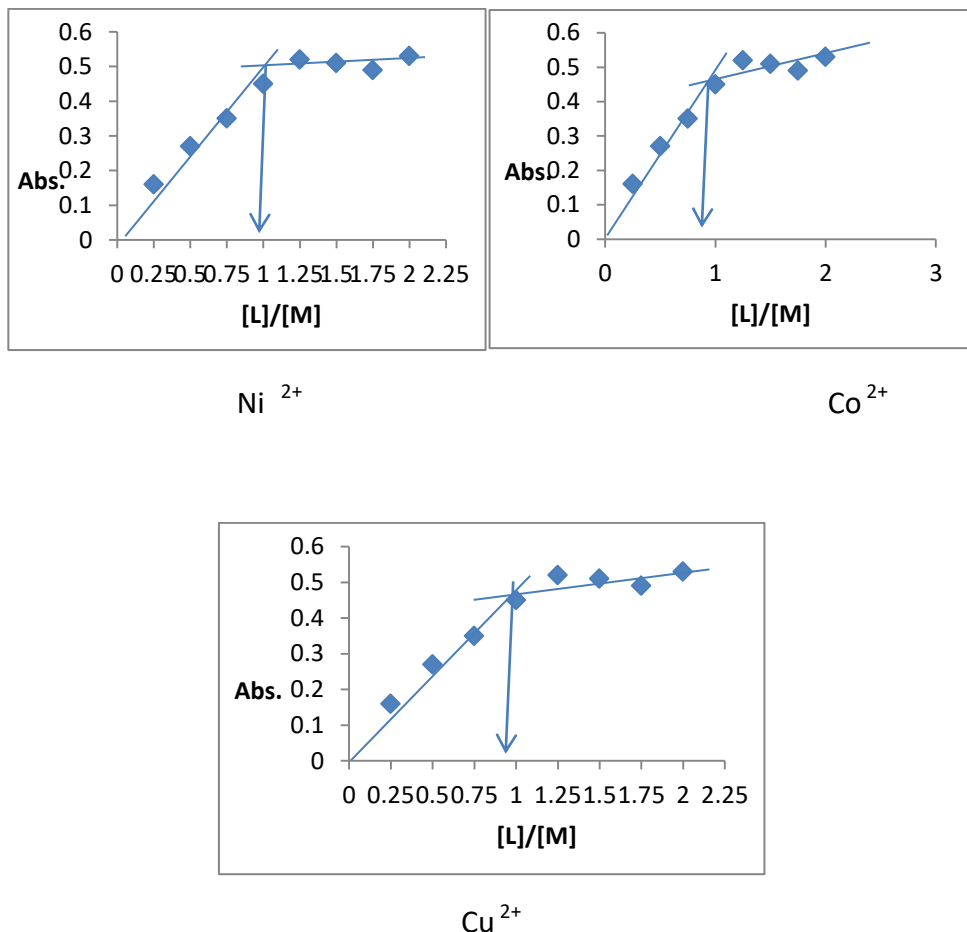
تم اعداد منحني المعايرة للايونات موضوع الدراسة مع الليكанд [L] بتحضير مجموعة من المحاليل ذات تراكيز مختلفة وقد تبين ان التراكيز المختارة تخضع لقانون لامبرت – بير وذلك لاعطائها امتصاصا طيفيا مقبولا عند التراكيز ( $10^{-5} \times 10^{-4}$  ) مولاري .



الشكل (1) : منحنيات المعايرة للمعقدات قيد الدراسة

**تعيين التركيب المحتمل للمعقادات :**

ان الطريقة الطيفية تعد من الطرق المهمة لايجاد الصيغة التركيبية المحتملة للمعقادات وخاصة الملونة منها . و تستعمل اطيف الاشعة فوق البنفسجية – المرئية بشكل واسع في هذا المجال . وتعد طريقة النسب المولية من الطرائق المهمة المستعملة في تحديد نسبة (الفلز:الليكанд)، وتتضمن هذه الطريقة رسم العلاقة بين الامتصاص على المحور الصادي و نسبة تركيز (الفلز:الليكанд) على المحور السيني ، ثم نرسم الخطوط المستقيمة حتى تتقاطع وتعود نقطة التقاطع هي نسبة (الفلز:الليكанд) في المعقد<sup>(12)</sup> وقد تبين ان نسبة الليكанд الى الفلز (M:L) هي (1:1) ولكافحة المعقادات قيد الدراسة

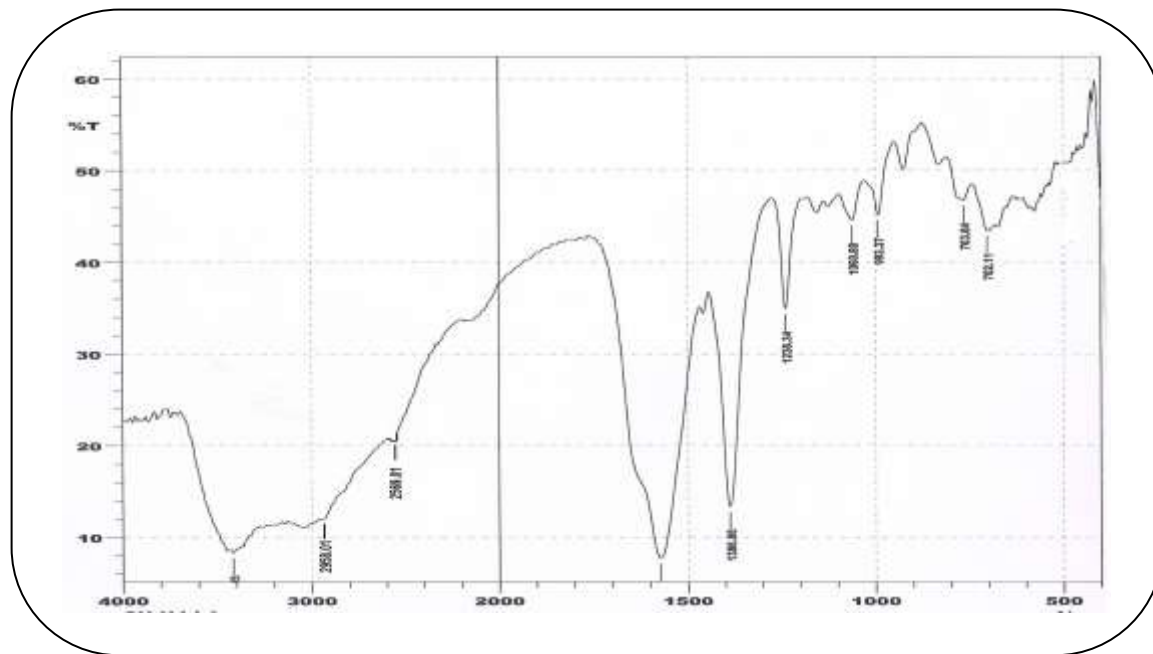


الشكل (2) : النسبة المولية للايونات مع الليكанд

اطياف الاشعة تحت الحمراء لليكائد [L] و معقداته :

طيف الاشعة تحت الحمراء لليكائد [L]

شخص الليكائد [L] عن طريق تتبع طيف الاشعة تحت الحمراء له والتي يبينها الشكل (3). اذ ظهرت حزمة ضعيفة تعود لمط الاصرة (S-H) عند العدد الموجي (2569) سم<sup>-1</sup>. كما وظهرت حزمة مط الكاربونيل بعدد موجي اقل من المعتاد عند (1579) سم<sup>-1</sup> بسبب تكون الاصرة الاماليدية . كما وظهرت حزمة عند (3410) سم<sup>-1</sup> تعود لمط (N-H) v<sub>1</sub>. و حزمة واضحة عند العدد الموجي (2958) سم<sup>-1</sup> عائنة لمط الاصرة (C=O) v<sub>2</sub>.



الشكل (3) : طيف الاشعة تحت الحمراء لليكائد

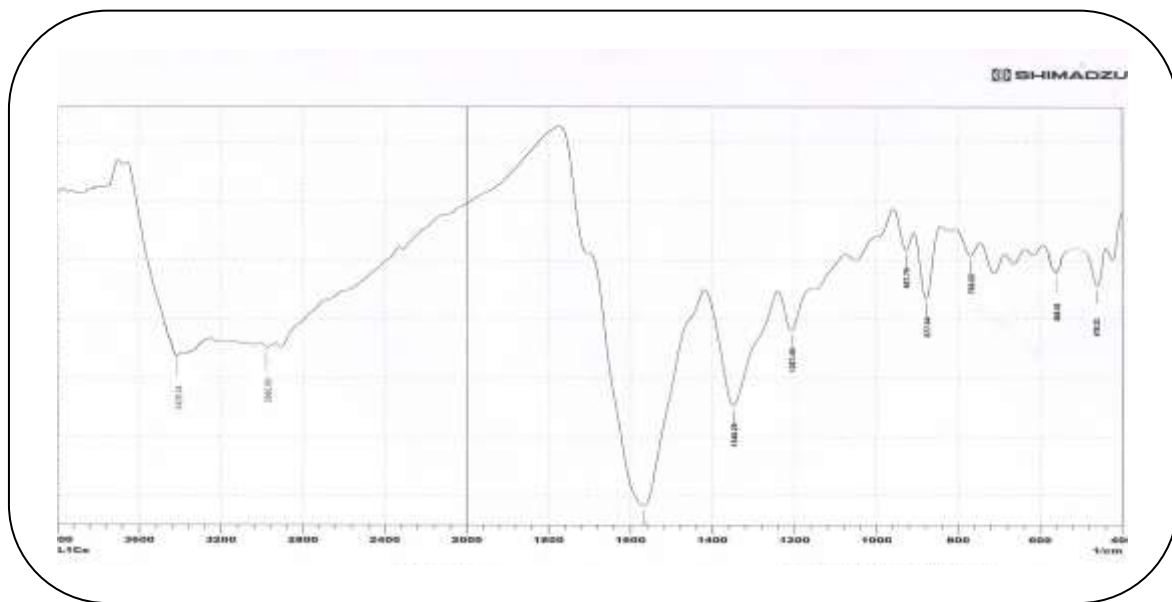
**طيف الاشعة تحت الحمراء لمعقدات الليكائد [L]**

شخصت المعدات المحضرة بتتبع طيف الاشعة تحت الحمراء للمعدات ومقارنته مع طيف الليكائد [L] الحر ، اذ ازاحت بعض الحزم واختفت بعضها مع ظهور حزم اخرى دلالة على حصول التناقض بينه وبين الفلزمات . اظهر الليكائد حزمة ضعيفة عند التردد (3410) سم<sup>-1</sup> تعود لمط الاصرة (N-H)<sup>v</sup> . اما اطيف الاشعة تحت الحمراء للمعدات المحضرة فقد اظهرت انزياخا نحو تردد اعلى في حزمة الامتصاص (N-H)<sup>v</sup> بسبب تناقض ذرة النيتروجين الامادية مع الايون الفلزي مكونة الاصرة (M-N) وبمقارنة الاصرة (S-H)<sup>v</sup> ذات التردد (2569) سم<sup>-1</sup> لليكائد [L] مع المعدات نلاحظ انزياخها دلالة على تناقض ذرة الكبريت مع الايون الفلزي مكونة الاصرة (M-S). حيث ظهرت قمم جديدة عند المدى (570-530) سم<sup>-1</sup> و (480-453) سم<sup>-1</sup> والعائدة للاصرة (M-N) و (M-S) على التوالي<sup>(13-14)</sup> . ولوحظ ان هذه الترددات تظهر في منطقة التردد الواطئ من اطيف الاشعة تحت الحمراء للمركبات المعقنة ولا نلاحظ مثل هذه الترددات في طيف الليكائد<sup>(15)</sup> .

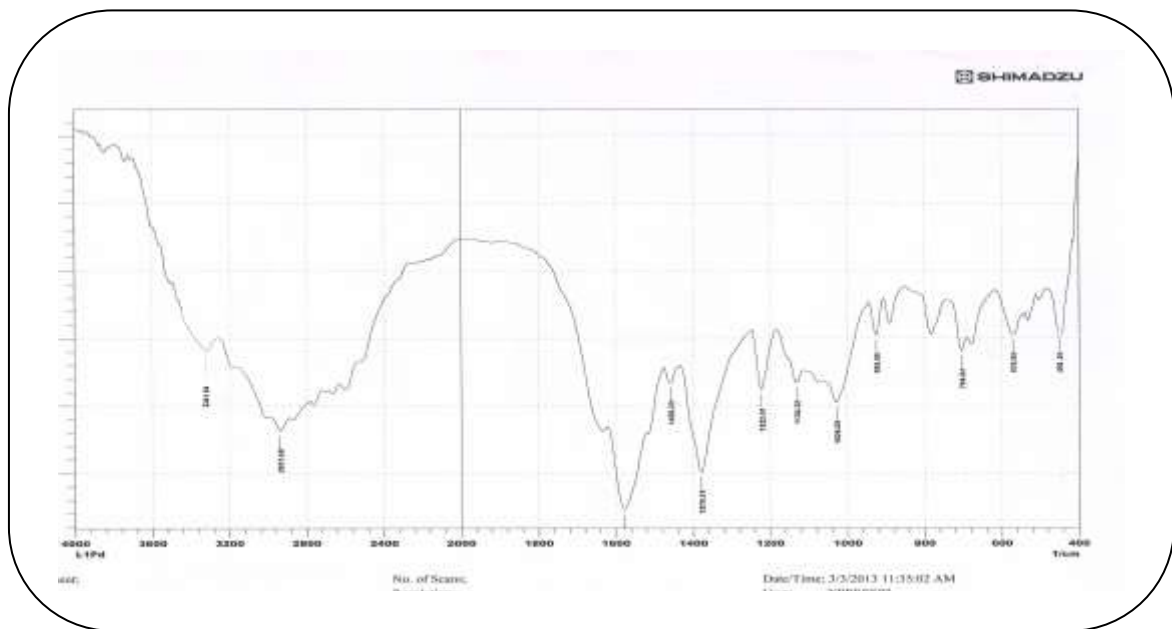
#### جدول (4) : بعض الترددات الاساسية للاشعة تحت الحمراء لليكанд ومعقدهاته

Comp.	v(N-H)	v(CH <sub>2</sub> ) aliphatic	v(C=O)	(S -H) v	(M-N) v	v(M-S)
[L]	(3410) <sub>w</sub>	(2958) <sub>w</sub>	(1579) <sub>s</sub>	(2569) w	....	....
[Co (L)Cl <sub>2</sub> ]	(3429) <sub>m</sub>	(2960) <sub>w</sub>	(1587) <sub>s</sub>	(2578) w	(565) <sub>w</sub>	(478) <sub>w</sub>
[Ni (L)]Cl <sub>2</sub>	(3341) <sub>w</sub>	(2937) <sub>w</sub>	(1575) <sub>s</sub>	(2571) w	(570) <sub>w</sub>	(453) <sub>w</sub>
[Cu (L) Cl <sub>2</sub> ]	(3420) <sub>m</sub>	(2928) <sub>s</sub>	(1572) <sub>s</sub>	(2580) w	(530) <sub>w</sub>	(480) <sub>w</sub>

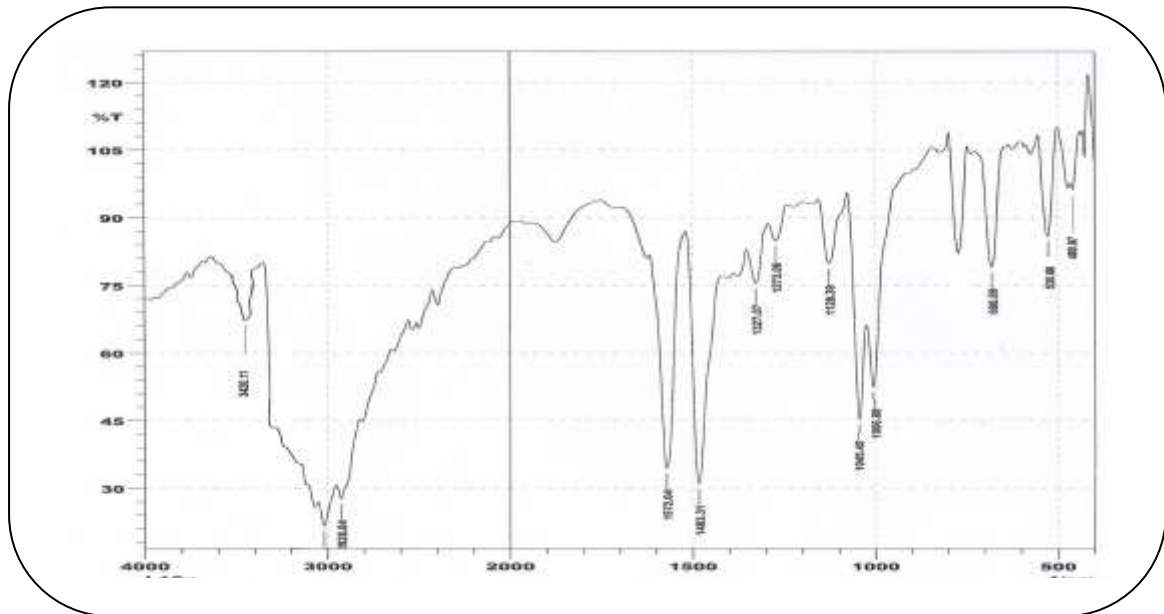
s=strong m=medium , w= weak



الشكل(4): طيف الاشعة تحت الحمراء للمعقد  $[ \text{Co} (\text{L})\text{Cl}_2 ]$



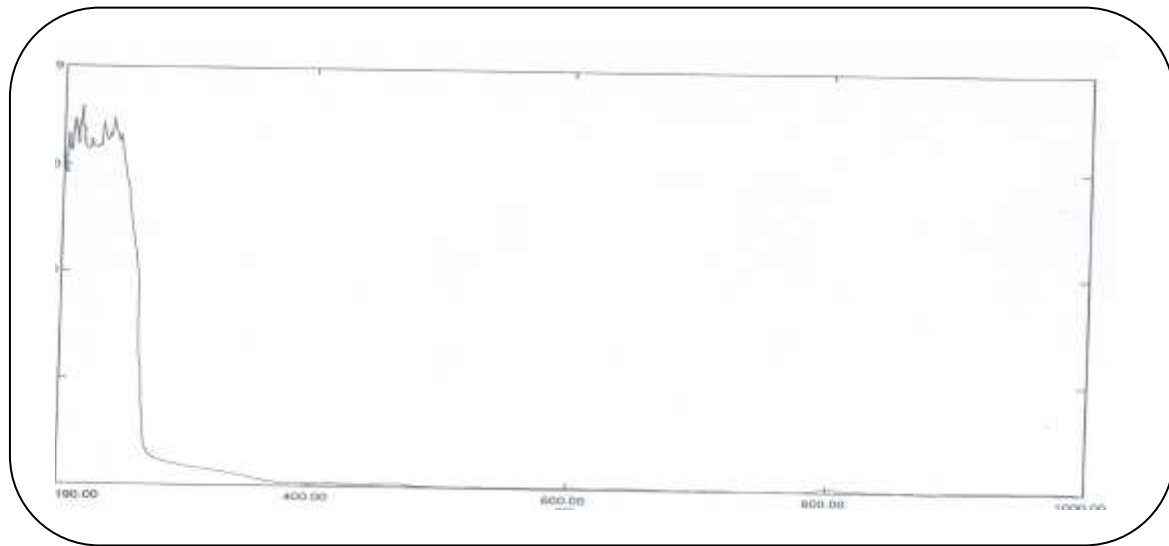
الشكل(5) : طيف الاشعة تحت الحمراء للمعقد  $[ \text{Ni} (\text{L})\text{Cl}_2 ]$



[ الشكل (6) : طيف الاشعة تحت الحمراء للمعقد  $[Cu(L)Cl_2]$  ]

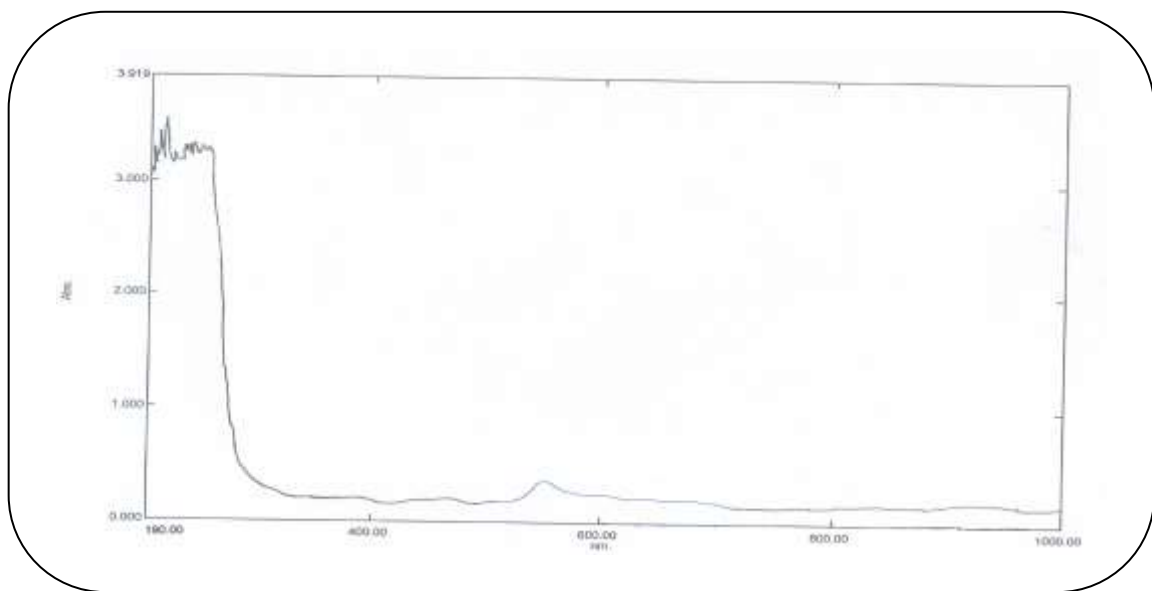
#### اطياف الاشعة فوق البنفسجية – المرئية لليكанд و معقاته

. اظهر طيف الاشعة فوق البنفسجية – المرئية لليكанд الحر [ L ] ، شكل (7) قمة عريضة عند المدى ( $\lambda = 235 - 286$  نانومتر ،  $(34965.04)$  سم $^{-1}$ ،  $(42553.20)$  سم $^{-1}$ ،  $\epsilon_{\text{max}} = 2599$  مولاري $^{-1}$  . سم $^{-1}$  ) تعود الى انتقالات  $\pi^*$   $\rightarrow \pi$  و  $\pi^* \rightarrow \pi$  على التوالي<sup>(16)</sup>.

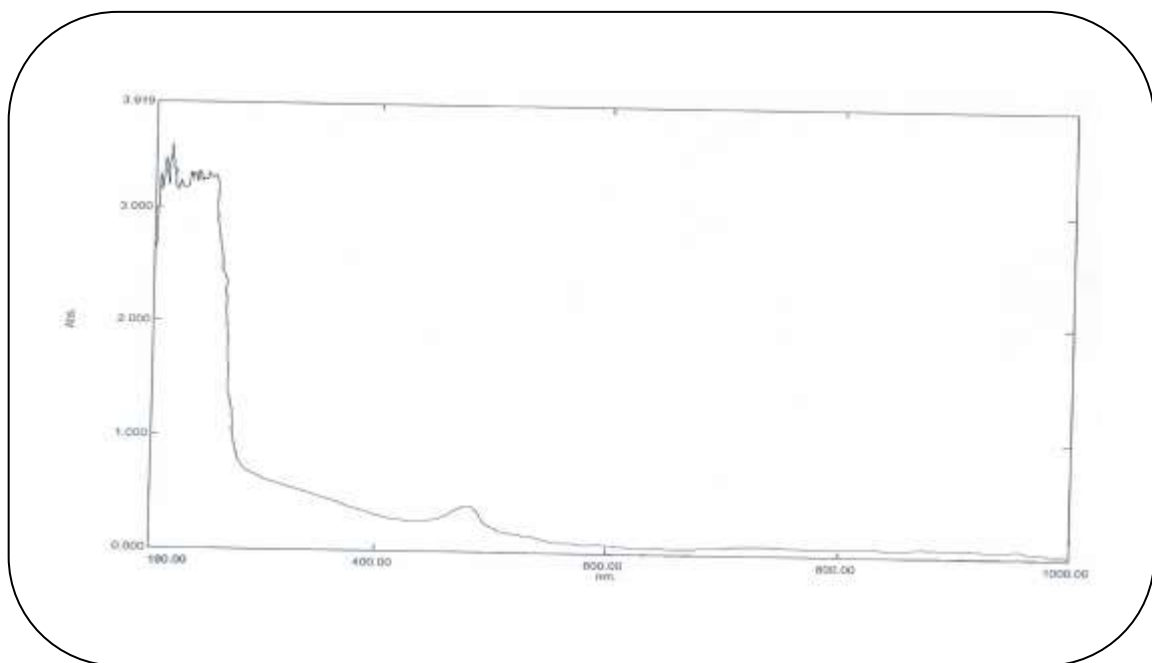


[ الشكل (7) : طيف الاشعة فوق البنفسجية – المرئية لليكанд [ L ] ]

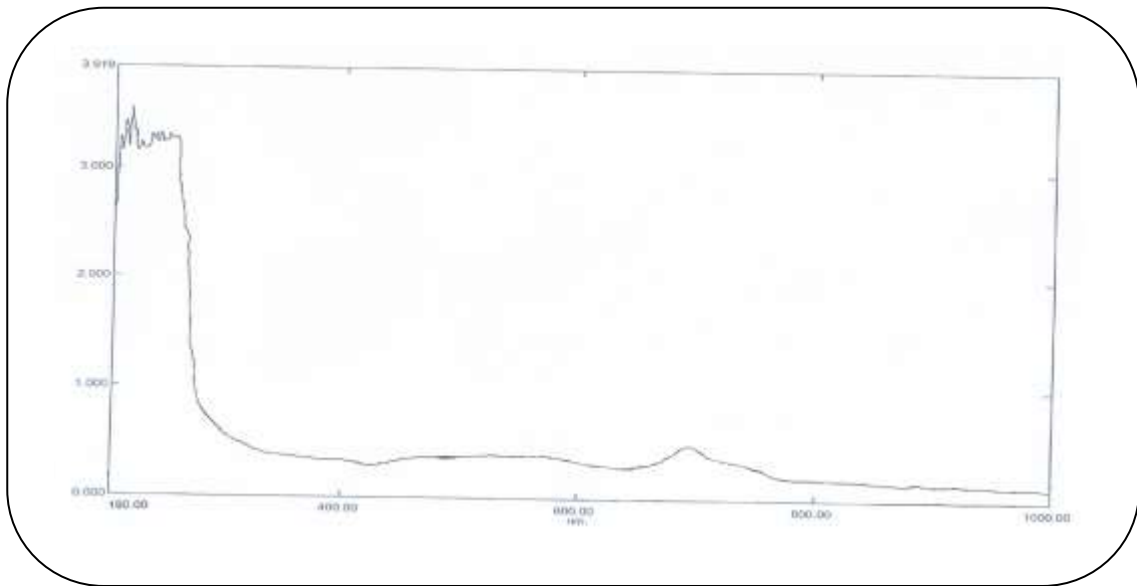
اظهر طيف المعقد [ Co(L) ] شكل (8) قمة عريضة بين ( $\lambda = 243 - 276$  نانومتر تعود الى المجال الليكاني وانتقال الشحنة . كما اظهر طيف المنطقة المرئية قمة واحدة مميزة عند ( $\lambda = 575$  نانومتر، ( $\lambda = 17391.31$  سم $^{-1}$ ،  $\epsilon_{\text{max}} = 410$  مولاري $^{-1}$  . سم $^{-1}$  ) تعود الى انتقالات (d-d) من نوع  $T_{1g}^F \rightarrow T_{2g}^F$   $^4T_1^F \rightarrow ^4T_2^F$  والتي تعود لمعققات الكوبالت<sup>(16)</sup> ثمانية السطوح حسب مخطط اوركل. اما طيف الاشعة فوق البنفسجية – المرئية لمعقد النikel [ Ni(L) ] شكل (9) فقد بين قمة عريضة عند المدى ( $\lambda = 224 - 269$  نانومتر تمثل المجال الليكاني وانتقال الشحنة ، اما المنطقة المرئية فقد بينت قمة واحدة عند ( $\lambda = 479$  نانومتر ،  $\lambda = 20876.83$  سم $^{-1}$ ،  $\epsilon_{\text{max}} = 411$  مولاري $^{-1}$  . سم $^{-1}$  ) تعود الى انتقالات (d – d) من نوع  $T_{1g}^F \rightarrow T_{2g}^F$   $^4T_1^F \rightarrow ^4T_2^F$  والتي توافق معقدات رباعي السطوح المنتظم. واظهر طيف المعقد [ CuL ] شكل (10) قمة عريضة بين ( $\lambda = 231 - 298$  نانومتر ( $\lambda = 689$  نانومتر ،  $\lambda = 14513.79$  سم $^{-1}$ ،  $\epsilon_{\text{max}} = 687$  مولاري $^{-1}$  . سم $^{-1}$  ) تعود الى انتقالات (d-d) من نوع  $Eg \rightarrow T_{2g}^2$  حسب مخطط اوركل.



الشكل (8) : طيف الاشعة فوق البنفسجية – المرئية للمعقد  $[ \text{Co}(\text{L})\text{Cl}_2 ]$



الشكل (9) : طيف الاشعة فوق البنفسجية – المرئية للمعقد  $[ \text{Ni}(\text{L})\text{Cl}_2 ]$



الشكل (10): طيف الاشعة فوق البنفسجية- المرئية للمعقد  $[\text{Cu}(\text{L})\text{Cl}_2]$

#### الحساسية المغناطيسية

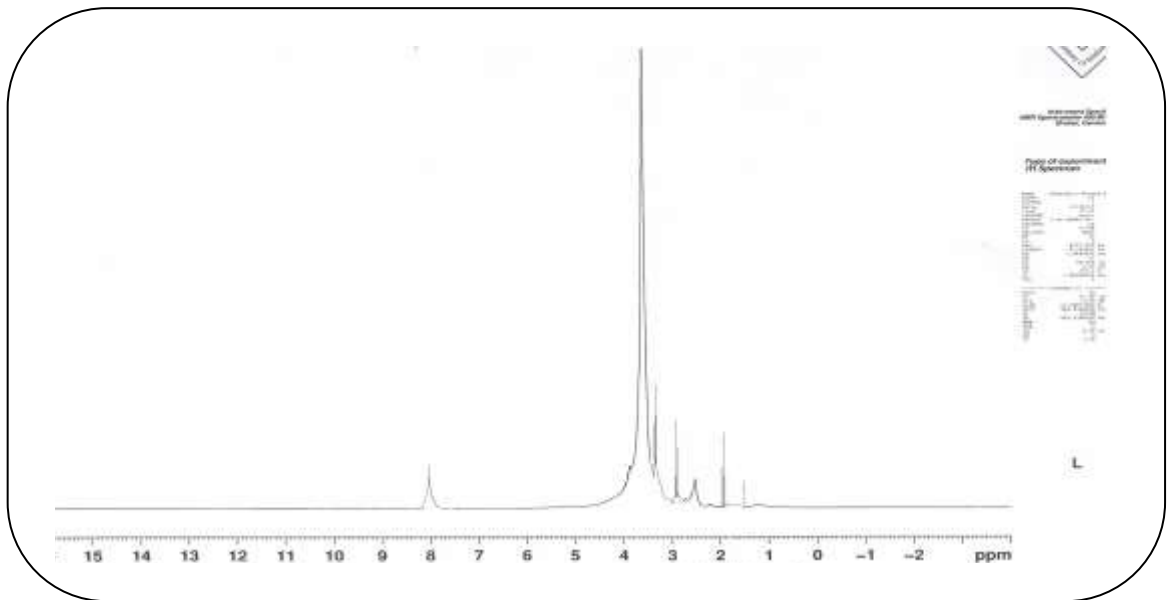
للقياسات المغناطيسية اهمية كبيرة في دراسة معقدات الفلزات الانتقالية ومعرفة اشكالها الهندسية اذ ان اغلب هذه الفلزات تمتلك الكترونات منفردة وتظهر صفات بارا مغناطيسية وفضلا عن ذلك فكلما كان عدد الالكترونات المنفردة اكبر كان العزم المغناطيسي للايون اكبر<sup>(19)</sup>

جدول (5) : يبين قيم الحساسية المغناطيسية والاطياف الالكترونية للمعقادات

Complexes	$\mu_{\text{eff}}(\text{B.M})$	$\lambda_{\text{max}}$	Assignment	Absorption Band( $\text{cm}^{-1}$ )	Proposed structure
$[\text{Co}(\text{L})\text{Cl}_2]$	3.68	575	${}^4\text{T}_1\text{g}^{\text{F}} \rightarrow {}^4\text{T}_2\text{g}^{\text{F}}$	15243.90	distorted oh
$[\text{Ni}(\text{L})]\text{Cl}_2$	2.82	479	${}^4\text{T}_1^{\text{F}} \rightarrow {}^4\text{T}_2^{\text{F}}$	23809.52	Td
$[\text{Cu}(\text{L})\text{Cl}_2]$	1.69	689	${}^2\text{E}\text{g} \rightarrow {}^2\text{T}_2\text{g}$	11148.27	distorted Oh

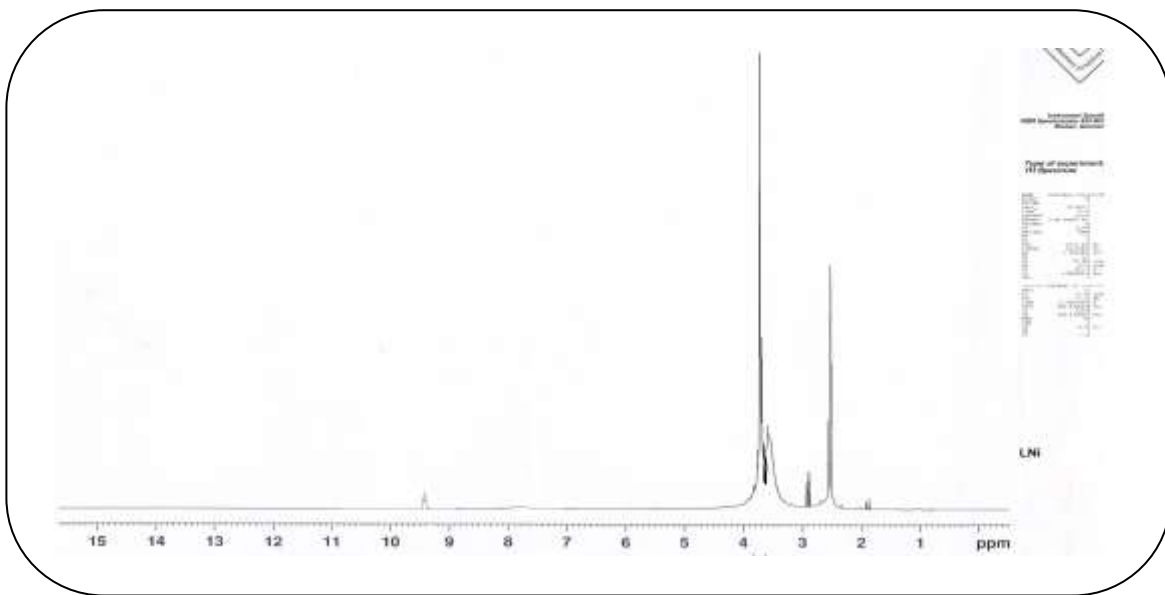
#### اطياف الرنين النووي المغناطيسي للبروتون للبيكانيد ومعقد النikel

اظهر طيف الرنين النووي المغناطيسي للبروتون ( ${}^1\text{H-NMR}$ ) للبيكانيد الحر ( $\text{L}$ ) في مذيب  $\text{DMSO-d}_6$  ، شكل (11) الازاحة الكيميائية عند  $8.03 \text{ ppm}$  ( $=2\text{H}$ ) يمكن اعزائها الى بروتونات ذرتي التتروجين الامادية . وازاحة كيميائية عند  $3.42 \text{ ppm}$  ( $=3\text{H}$ ) يمكن اعزائها الى مجموعتي المثيلين المرتبطة بذرتي النايتروجين الامادية.. اما الازاحة الكيميائية عند  $2.84 \text{ ppm}$  ( $=4\text{H}$ ) فتعود الى بروتونات مجموعتي المثيلين المرتبطة بذرتي الكبريت . وظهرت ازاحة اخرى  $2.48 \text{ ppm}$  ( $=4\text{H}$ ) تعود لبروتونات مجموعتي المثيلين المرتبطة بمجموعتي الكاربونييل الامادية . والإشارة عند  $1.86 \text{ ppm}$  ( $=2\text{H}$ ) تعود الى مجموعتي المثيلين الوسطية لقاعدة التتروجينية . والازاحة عند  $1.5 \text{ ppm}$  ( $=2\text{H}$ ) تعود للبروتونات المرتبطة مباشرة بذرتي الكبريت<sup>(20)</sup>.



الشكل (11): طيف الرنين النووي المغناطيسي للبروتون لليكанд [ L ]

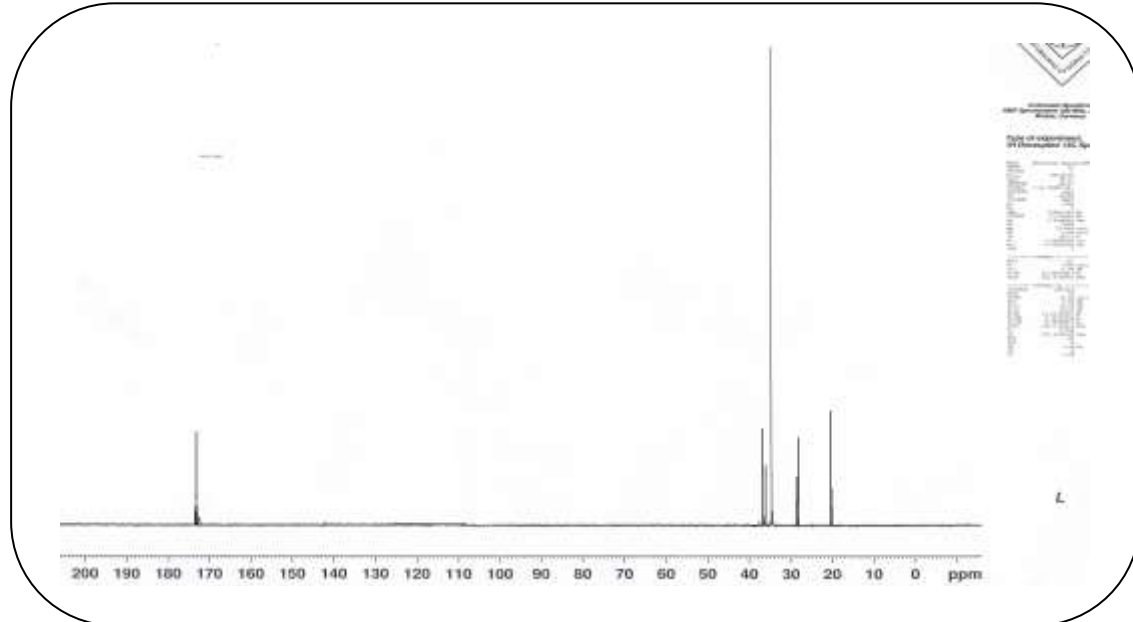
في حين اظهر طيف المعقد NiL شكل (12) الاشارات الكيميائية عند ( $\delta=1.89 \text{ ppm}, 2\text{H}$ ) والتي تعود الى بروتونات مجموعة المثيلين الوسطية التابعة لقاعدة التتروجينية ، اما بروتونات مجموعة المثيلين المرتبطة بذرتى التتروجين الاميدية فقد اظهرت ازاحة كيميائية عند ( $\delta=3.52 \text{ ppm}, 4\text{H}$ ), كما اظهر الطيف ازاحة كيميائية عند ( $\delta=9.41 \text{ ppm}, 2\text{H}$ ) تعود الى بروتونات التتروجين الاميدية والتي اختلف موقعها عن موقع اشارة نفس المجموعة لليكанд الحر دلالة على تناقض ذرتى التتروجين مع الايون الفلزى . وظهرت اشارة ( $\delta=2.65 \text{ ppm}, 4\text{H}$ ) والتي تعود الى بروتونات مجموعة المثيلين المرتبطة بمجموعتي الكاربونيل والاشارة عند ( $\delta=2.96 \text{ ppm}, 4\text{H}$ ) والتي تعود الى بروتونات مجموعة المثيلين المرتبطة بذرتى الكبريت مباشرة . كما ان انزياح وانخفاض شدة الاشارة العائد للبروتونات المرتبطة بذرات الكبريت دلالة على تناقض ذرات الكبريت مع الايون الفلزى.<sup>(20)</sup>



الشكل(12): طيف الرنين النووي المغناطيسي للبروتون للمعقد [ Ni L ]

**طيف الرنين النووي المغناطيسي للكاربون - 13- لليكанд [L]**

اظهر طيف الرنين النووي المغناطيسي للكاربون  $^{13}\text{C}$ -NMR للليكанд [L] الشكل(13) في مذيب  $\text{d}^6\text{-DMSO}$  الازاحت الكيميائية عند  $\delta=173.3 \text{ ppm}$  تعود الى كarbon مجموعه الكاربونيل في الليكاند . وظهرت ازاحة كيميائية عند  $\delta=37.4 \text{ ppm}$  يمكن اعزائها الى ذرتi الكاربون المرتبطة مباشرة مع ذرتi النتروجين الامائديه. اما الازاحة  $\delta=36.4 \text{ ppm}$  فتعود الى مجموعتي المثيلين المرتبطة بمجموعتي الكاربونيل الامائديه . والإشارة عند  $\delta=28.7 \text{ ppm}$  التابعه الى ذرة كarbon مجموعه المثيلين الوسطيه في القاعدة النتروجينيه . اما الاشارة عند  $\delta=20.2 \text{ ppm}$  فتعود الى كarbon مجموعتي المثيلين المرتبطة بذرتي الكبريت مباشرة <sup>(20)</sup>.



الشكل(13): طيف الرنين النووي المغناطيسي للكاربون - 13 – لليكанд

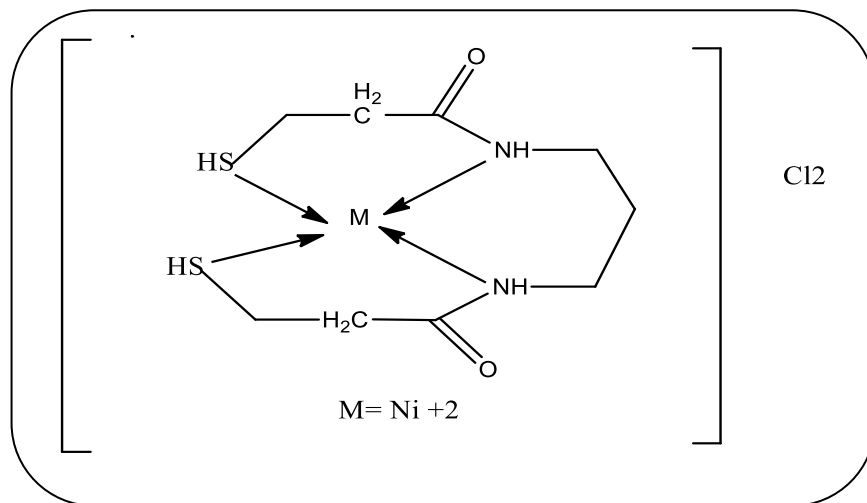
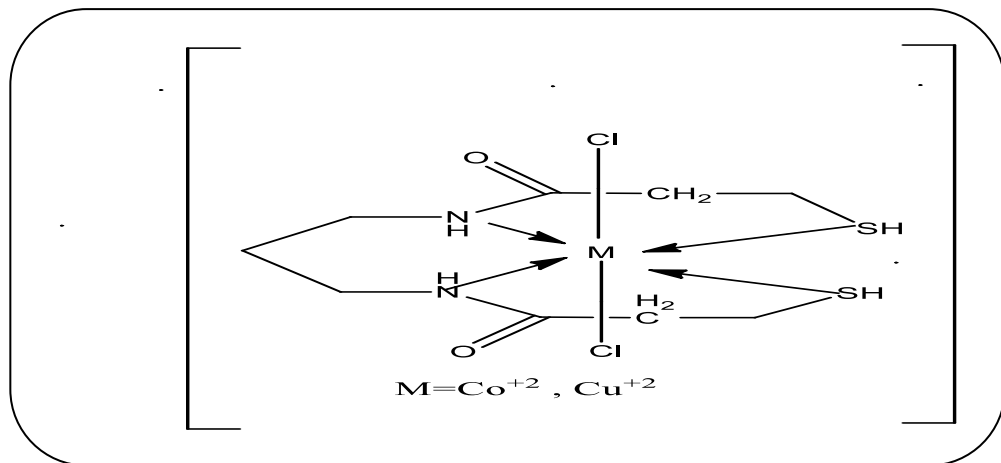
في بحثنا هذا قيست التوصيلية الكهربائية المولارية لمحاليل المعقادات الكلينية الصلبة للايونات المعنية بالدراسة مع الليكاندات المحضرة عند تركيز  $(\text{M} \times 10^{-3})$  في مذيب ثانوي مثل اوكسيد الكبريت (DMSO) وفي درجة حرارة المختبر حيث وجود الكلوريدات خارج الكرة التناسقية تكون المعقادات موصولة للكهربائية اما وجودها داخلها تكون هذه المعقادات موصولة كهربائيا <sup>(21)</sup>. وقد تبين من نتائج التوصيلية الكهربائية ان معقادات الكوبالت والنحاس غير اللكترونلية بينما معدن النيكل يكون اللكترونلبي وكمما هو موضح في الجدول ( 6 )

الجدول (6) : قيم التوصيلية المولارية للمعقادات

Complex	$\Lambda_m(\text{S.mol}^{-1}.\text{cm}^2)$ In(DMSO)
L	13.1
$[\text{Co}(\text{L})\text{Cl}_2]$	9.6
$[\text{Ni}(\text{L})\text{Cl}_2]$	84.7
$[\text{Cu}(\text{L})\text{Cl}_2]$	22.1

**الشكل المقترن للمعقادات**

بيّنت القياسات المختلفة الماخوذة ان لمعقدي الكوبيلت و النحاس شكل الثماني السطوح المشوه (distorted octahedral) (tetrahedral) كما في الاشكال ادنى :



**المصادر**

- 1 - A.H.Dawood, E.T.Kareem & A.M.Madlool,. **Inter. J. of Chem.**, 4, 6, 64-74 (2012).
- 2- A.R.Adem, M.Antonovich, L.F.Lindoy, M.M.Partlin & P.A.Tasker, **J. Chem. Soc. Dalton Trans**, 1013 (1993).
- 3 - J.P.L.Cox, K.J.Jamkowski, A.Harrison & C.Walker , **J. Chem. Soc. Chem. Commun**, 797 (1989).
- 4- M.Sabat, K.A.Satyashur & M.Sandralingam, **J. Am. Chem. Soc.** , 105, 978 (1989) .
- 5- H . Sigel, B.E.Fisher & S.Farkas , **Inorg. Chem.** , 22, 925 (1983).
- 6- N.R.Champness , C.S.Frampton & D.A.Toucher , **J. Chem. Soc. , Dalton Trans** , 303 (1994).
- 7- N.Singh , R.N.Patel & K.K.Sukla , **Indian J. Chem.** , 42, 1883 (2003).
- 8- V.G.Dave & P.J.Vags , **Inter. J. Chem. Applications** , 2, 2, 88- 102 (2010).
- 9- B.P.Baranwal, T. Gupta & A.K.Singh , **Indian. J. Chem.** , 42 , 1905 (2003).
- 10 -S.A.Kettle,“ **Coordination Compounds** ”,Tomasnelson and Sons , London (1975).
- 11- D.F.Shriver , P.W.Atkins , J.H.Weber & F. A.Armstrong , “ **Inorganic Chemistry** ” , 6th Ed , New York ,219 (2009).
- 12- J.M.Bosque – Sendra , E.A.Loppez & A.M.Garcia , **Anal. Sci** , 19, 1431, (2003).
- 13- N.Turan, N.Colak & M.Sekerci , **IJNES** , 2, 3 , 27 (2008).
- 14- B.M.Trivedi, " **Synthesis , characterization and chelating properties of Novel ligand** " , Ph.D Thesis , Hew North Guj. University (2010).
- 15- T.Kavitha, A.Kulandaismy & P.Thillaiarasu, **Chem Sci Trans** , 2(S1), S25-S32 (2013).
- 16- Sh. A. Alyass " **Synthesis new macrocyclic ligands type N2S2 and their metal complexes and studying thermodynamic properties of complexes** " , M.Sc. thesis , karbala University (2014) .
- 17 - A.B.P.Lever,"**Inorganic Electronic Spectroscopy**" ,2<sup>nd</sup> Edn.,Elsevier Press,New york, (1968).
- 18 - R.L. Dutta & A.Syamal " **Elements Magnetochemistry** " , 2<sup>nd</sup> Edn.,East-West Press,New Delhi, (1992).
- 19 - N.H.Obad & R.T.Mahdi , **Kufa Journal for chemistry** , NO.2 (2011).
- 20- A.Pandy, R.Rajavel, S.Candraker & D.Dash, **E-Journal of Chemistry** , 9,4,2524-2531(2012).
- 21-R.L.Carlin& A.J.V.Duyneveldt,"**Magnetic properties of transition metal compounds** " , New York,(1977).